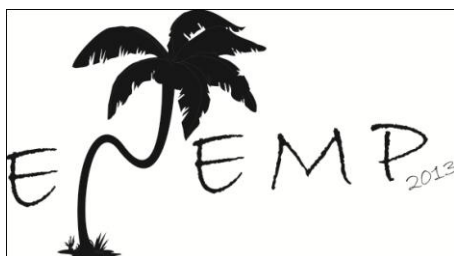


XXXVI Congresso Brasileiro de Sistemas Particulados (ENEMP 2013)

**20 a 23 de outubro de 2013
MACEIÓ - AL**



PROGRAMAÇÃO

Editores: Sandra Helena Vieira de Carvalho
João Inácio Soletti
Lucas Meili
Amanda Santana Peiter

PROGRAMAÇÃO

Domingo (20/10/2013)	
18:00	Credenciamento
19:00	Sessão Solene de Abertura - Hotel Ponta Verde (por convite) <i>Palestra: Novas Fronteiras em Sistemas Particulados</i> Prof. Dr. João Inácio Soletti
21:00	Boas vindas aos congressistas (por convite) <i>Coquetel</i>

Segunda-feira (21/10/2013) Local: Faculdade Integrada Tiradentes - Fits	
7:30	Credenciamento
08:00	Minicurso <i>1. Agitação e Mistura com Suspensão de Sólidos</i> Prof. Dr. José Roberto Nunhez <i>2. Modelagem do Escoamento de Fluidos e Partículas em Meios Porosos: Teoria e Aplicações</i> Prof. Dr. Luís Américo Calçada
10:00 - 10:30	Intervalo
10:30	Minicursos em paralelo: <i>1. Agitação e Mistura com Suspensão de Sólidos</i> Prof. Dr. José Roberto Nunhez <i>2. Modelagem do Escoamento de Fluidos e Partículas em Meios Porosos: Teoria e Aplicações</i> Prof. Dr. Luís Américo Calçada
12:30 - 14:00	Intervalo para almoço
14:00	Sessões Orais
16:00	Intervalo <i>Coffee Break</i>
16:30	Apresentação de Painéis
18:15 - 18:30	Intervalo
18:30	<i>Palestra: Análise de Caos em Sistemas Fluidizados</i> Prof. Dr. Marco Aurélio Cremasco
19:30 - 20:30	<i>Palestra: Avaliação do Escoamento de Fluido Não-Newtoniano e Determinação de Suas Propriedades</i> Prof. Dra. Cláudia Miriam Scheid

Terça-feira (22/10/2013)	
Local: Faculdade Integrada Tiradentes - Fits	
08:00	Minicurso <i>1. Agitação e Mistura com Suspensão de Sólidos</i> Prof. Dr. José Roberto Nunhez <i>2. Modelagem do Escoamento de Fluidos e Partículas em Meios Porosos: Teoria e Aplicações</i> Prof. Dr. Luís Américo Calçada
10:00 - 10:30	Intervalo
10:30	Minicursos em paralelo: <i>1. Agitação e Mistura com Suspensão de Sólidos</i> Prof. Dr. José Roberto Nunhez <i>2. Modelagem do Escoamento de Fluidos e Partículas em Meios Porosos: Teoria e Aplicações</i> Prof. Dr. Luís Américo Calçada
12:30 - 14:00	Intervalo para almoço
14:00	Sessões Orais
16:00	Intervalo <i>Coffee Break</i>
16:30	Apresentação de painéis
18:15 - 18:30	Intervalo
18:30	Palestra <i>Palestra: Sedimentação Sólido-Líquido por Ação da Gravidade</i> Prof. Dr. João Jorge Ribeiro Damasceno
19:15 - 20:15	Assembleia do Enemp
21:00	Confraternização por adesão diretamente no local: Bodega do Sertão

Quarta-feira (23/10/2013)	
Local: Faculdade Integrada Tiradentes - Fits	
08:00	Apresentação de Painéis
10:00 - 10:30	Intervalo
10:30	Sessões Orais
12:00 - 12:30	Sessão de Encerramento

APRESENTAÇÃO DE TRABALHOS ORAIS

SEGUNDA-FEIRA - 21/10/2013 - 14:00 às 16:00 horas

Caracterização Dinâmica de Partículas, Bolhas e Gotas
Propriedades de Transporte
Modelagem e Simulação

SALA - 1: GOGÓ DA EMA

Horário	Código	Trabalho
14:00	MS890R	Modelagem matemática do processo de extração supercrítica: parte II – modelo de duas fases com equilíbrio não linear L. F. G. Machado, T. J. G. Pereira, J. L. Ferreira, E. N. Macêdo
14:15	MS772R	Dinâmica do transporte de cascalhos solúveis em fluidos de perfuração de poços de petróleo F.R.G. da Silva, A.L. Martins
14:30	MS820R	Simulation of a microalgae in a continuous photobioreactor with sedimentation and partial biomass recycle. C.E.F.Silva, B.Gris, A.Bertucco
14:45	MS417R	Caracterização de regimes de fluidização a partir de invariantes caóticos utilizando-se a equação de ergun W. H. Prieto, H. L. Moura, M. A. Cremasco
15:00	MS673R	Controle de reator em leito fluidizado para produção de biodiesel a partir de óleo de licuri F.A.Santos, A.M.Santos. A.P.Oliveira, G.F.Silva, A.L.O.Ferreira
15:15	CD436R	Caracterização física e fisiológica de sementes de cevada brasileira para fins de produção de malte cervejeiro C. Corrêa, L. F. C. Gouvêa, J. T. Freire, G. D. Maia
15:30	PT747R	Quantificação direta de sedimentos em superfícies asfálticas P.P.M.Carvalho, M.G.F.P.Neves
15:45	PT845R	Parâmetros do modelo da transferência de calor em um reator de pirólise de partículas de xisto L. P. de Melo, A. C. L. Lisbôa

SALA – 2: JATIÚCA

Horário	Código	Trabalho
14:00	MS723R	Simulação de escoamentos multifásicos polidispersos usando balanço populacional: evolução da distribuição de tamanho de gotas em emulsões de água em óleo J.L. Favero, L.F.L.R. Silva, P.L.C. Lage
14:15	MS633R	Influência da composição do meio dispersante sobre a reologia de suspensões de pó de resíduos de casca de banana em soluções ácidas H. S. Mininel, H.A. Villa-Vélez, T.C. Botelho, J. Telis-Romero
14:30	MS634R	Determinação de propriedades físicas de sementes de goiaba em função do conteúdo de umidade T.C. Botelho, H.A. Villa-Vélez, H. S. Mininel, J. Telis-Romero

- 14:45 MS496R Estudo computacional sobre a influência da velocidade superficial da fase líquida e do diâmetro médio da fase discreta sobre as composições estacionárias das diferentes seções de uma coluna de bolhas operando com microbolhas**
J.A.Ribeiro, A.S.Reis, C.H.Ataíde, M.A.S.Barrozo
- 15:00 MS548R Abordagem dos problemas de Stefan aplicado ao processo de difusão na hidratação de grãos**
D. J. Nicolín, R. M. M. Jorge, L. M. M. Jorge
- 15:15 CD748R Análise granulométrica de sedimentos quantificados de vias asfálticas**
P.P.M.Carvalho, M.G.F.P.Neves
- 15:30 PT995R Identificação de sinal acústico no monitoramento de fluxo de sólidos**
J. I. Soletti, S. H. V. Carvalho, N. Ellis, J. R. Grace
- 15:45 PT687R Efeitos difusivos na produção de carotenóides por rhodotorulaglutinis**
R.S.Fisicina, A.M.Santos, A.P.Oliveira, .A.Silva, A.L.O.Ferreira, G.F.Silva

SALA – 3:PONTA VERDE

Horário	Código	Trabalho
14:00	MS549R	Aplicação do método da malha espacial variável na simulação da hidratação de grãos a volume variável D. J. Nicolín, R. M. M. Jorge, L. M. M. Jorge
14:15	MS375R	Modelagem do escoamento de ar e da deposição de partículas em pulmão humano através de CFD Augusto, L. L. X., Gonçalves, J. A. S., Lopes, G. C
14:00	MS168R	Perfil de velocidades tangenciais em um hidrociclone para separação líquido/líquido E. R. Braga, J. B. L. M. Campos, C. M. Scheid, R. A. Medronho
14:45	MS229R	Estudo experimental e em CFD de um alimentador venturi para material particulado grosseiro em orientação vertical em um transportador pneumático T.F.Pádua, R.Béttega, J.T.Freire
15:00	MS669R	Análise da eficiência energética de secadores E.C.Leonel, R.G.Corrêa
15:15	CD816R	Caracterização da forma de partículas reentrantes com vistas à interação com fluidos newtonianos J. M. A. R. Almeida, P. N. Romano, Y. Carvalho, R. P. Peçanha
15:30	CD816R	Caracterização da forma de partículas reentrantes com vistas à interação com fluidos newtonianos J. M. A. R. Almeida, P. N. Romano, Y. Carvalho, R. P. Peçanha

TERÇA-FEIRA - 22/10/2013 - 14:00 às 16:00 horas

**Secagem
Processos de Separação**

SALA - 1: GOGÓ DA EMA

Horário	Código	Trabalho
14:00	SE410R	Análise da cinética de secagem da pimenta-do-reino aplicando medidas de não linearidade em modelos empíricos V.R. Covre, T.S. Lira, M.S. Bacelos
14:15	SE465R	Estudo da cinética de reumidificação de sementes de cevada para fins de malteação R.P.C. Soares, J.T. Freire, G.D. Maia
14:30	SE904R	Secagem por atomização de suco de uva com misturas de proteína isolada de soja e maltodextrina P. Moser, T.C.B. Gallo, V.R.N. Telis
14:45	SE620R	Estudo da secagem de fertilizantes no secador rotoerado operando com diferentes configurações B.C.Silverio, D.B.L.Santos, I. A. Resende, P. L. S. Sá, E. B. Arruda, M.A.S.Barrozo
15:00	SE688R	Influência do processo de secagem da casca e polpa de butiás no conteúdo de antocianinas e carotenóides V. Freitas, V. Rosseto, G. S. Rosa
15:15	PS401R	Adsorção e eluição de beta-caroteno em colunas de leito fixo : efeito da concentração e da polaridade dos solventes L.T. M. Sousa, E. Franceschi, C.C. Santana
15:30	PS396R	Pré-tratamento de bagaço de cana com co2 supercrítico: estudo preliminar A. S. Butzke, M. A. Silva, M. A. Silva
15:45	PS365R	Avaliação do desempenho de um ciclone stairmand adaptado com bicos injetores de água J.Chiabai Junior, V.G.Guerra, M.L.Aguiar

SALA – 2: JATIÚCA

Horário	Código	Trabalho
14:00	SE256R	Secagem de colágeno hidrolisado em leite de jorro: estudo da eficiência do processo J.J. Butzge, S.C.S. Rocha
14:15	SE856R	Secagem de pólen apícola em leite fluidizado assistido por aquecimento infravermelho L.D.M.Santos, M.M.Prado
14:30	SE882R	Estudo da secagem híbrida de pólen apícola R. J. Brandão, L. D. M. Santos, L. G. Marques, M. M. Prado
14:45	SE720R	Avaliação da secagem em estufa e por micro-ondas de material cerâmico e adição de quartzito para formação de compósito V.S.Birchal, C.C.F.Xavier, D.T.Gomes, L.C.Santos, L.C.F.M.G.Carvalho, A.L.T.Charbel

- 15:00 SE795R **Influence of ultrasound assisted osmotic dehydration pretreatment on convective drying of pineapple**
J.L.G. Corrêa, M.C. Rasia, J.V. Garcia-Perez, A. Mulet, J.A. Cárcel
- 15:15 PS923R **Avaliação do efeito da velocidade de sedimentação no processo de purificação de biodiesel**
R. Gabriel, A. S. Peiter, S. H. V. Carvalho, J. I. Soletti
- 15:30 PS900R **Extração de fenóis da casca de romã em reator batelada agitado.**
L. Machado-Garcia; L. F. Monteiro; Lima, A. S.; O. L. S.Alsina
- 15:45 PS997R **Tratamento de efluente da indústria de processamento de coco via flotação por ar dissolvido**
V. C. P. Sousa, M. A. R. Tenório, S. H. V. Carvalho, J. I. Soletti

SALA – 3: PONTA VERDE

Horário	Código	Trabalho
14:00	SE925R	Estimativa dos parâmetros de difusão de partes aéreas de pimenta-de-macaco (<i>Piperaduncum L.</i>) na secagem em leito fixo C.L.O.C. Silva, C.M.L. Costa, V.J.N.L. Maia, L.J.G. Faria
14:15	SE833R	Secagem de folhas de oliveira em leito fixo: avaliação dos compostos bioativos L. M. M. Machado, G. S. Rosa
14:30	SE834R	Utilização da técnica de planejamento experimental para a secagem de folhas de eucalipto em leito fixo L.P.Ricardo, G.S.Rosa
14:45	SE795R	Convective drying of pineapple assisted by high intensity ultrasound. J.L.G. Corrêa
15:00	PS598R	Absorção de gases provenientes da queima de combustíveis fósseis em torre de recheio estruturado utilizando lama vermelha do Processo Bayer I. F. Santos, L. C. A. Venancio, G. P. C. César, J. A. S. Souza, C.A.G. Souza
15:15	PS874R	Adsorção de corantes anionico e cationico de soluções aquosas em hidróxido duplo lamelar (Mg-Al) não calcinado :estudos experimental e teórico J.E.Aguiar, B.T.C.Bezerra, B.M.Braga, P.D.S.Lima, S.M.P.Lucena, I.J.Silva Jr
15:30	PS257R	Utilização de resíduo de laranja lima no tratamento de efluente da indústria têxtil C. E. F. Silva, A. K. S. Abud
15:45	PS325R	Concentração em coluna de bolhas e espuma de surfactina obtida a partir de <i>Bacillus sp</i> ITP – 001 isolado de solo contaminado por petróleo A.P.C.Alves, M.T.S.Silva, C.E.S.Nunes, C.C.Santana, C.M.F.Soare

QUARTA-FEIRA - 23/10/2013 - 10:30 às 12:30 horas

Leitos Fixos, Deslizantes, Oral Jorros, Fluidizados e Vibrados Temas Correlatos

SALA - 1: GOGÓ DA EMA

Horário	Código	Trabalho
08:00	LE474R	Pirólise rápida de sorgo sacarino em um reator de leito fluidizado: análise dos principais componentes presentes no bio-óleo T.J.P Oliveira, C.H. Ataíde
08:15	LE479R	Monitoramento do regime fluidodinâmico da secagem de açaí em leito de jorro utilizando medidas de sinais de flutuação de pressão R. G. Costa, C. A. M. da Silva, L. J. G. Faria, O. P. Taranto
08:30	LE216R	Projeto de um sistema de controle para o regime fluidodinâmico em leito de jorro a partir da análise espectral dos sinais de flutuação de pressão J.J. Butzge, C.A.M. Silva, O.P. Taranto
08:45	LE324R	Estudo hidrodinâmico da perda de carga em leito fixo de partículas irregulares de xisto avaliando o efeito de parede e a porosidade J.P. Foltin, A. C. L. Lisbôa
09:00	TC336R	Monitoramento ambiental: estudo de caso em um banheiro de universidade pública P.F.Rosa, T.T. Comin, M.L.Aguiar
09:15	TC307R	Estudo da concentração de material particulado menor que 2,5 µm em ambientes interno e externo de bibliotecas G.M. da Silva, R.A.L. Santos, M. A. M. Costa, J.A.C. Junior, A. J. D. Souza, M. L. Aguiar

SALA – 2: JATIÚCA

Horário	Código	Trabalho
08:00	LE862R	Produção enzimática contínua de diacilglicerol pela hidrólise parcial do óleo de soja em reator de leito fixo J. A. Awadallak, C. R. Brito Junior, C. Silva, L. Cardozo Filho, E.A.Silva
08:15	LE864R	Hidrólise enzimática de óleo de soja em reator de leito fixo utilizando a lipase Lipozymermim J. A. Awadallak, C. R. Brito Junior, M. F. Barbosa, E. A. Silva, C. Silva, L.CardozoFilho
08:30	LE551R	Granulação de polvilho doce em leito fluidizado pulsado G. C. Dacanal, C. A. Brazil, T. A. M. Hirata, F. C. Menegalli
08:45	LE642R	Estudo experimental da segregação de partículas em leitos fluidizados contendo misturas binárias utilizando a técnica de análise das flutuações de pressão D.A.Rueda-Ordóñez, A.A.B.Pécora, E.dos Reis

09:00	TC306R	Queima da floresta amazônica e a emissão de poluentes particulados menores que 2,5 µm M. A. M. Costa, J. A. Carvalho Jr., T.G.S. Neto, J.C. Santos, E. Anselmo, B.A. Lima, S. S. Amaral
09:15	TC314R	Desenvolvimento de um programa em Excel/vba para determinação do regime de escoamento em coluna bolha através de medidas de capacitância P. C. Stulp, C. L. Martins, C. D. F. de Jesus, M. F. P. Moreira

SALA – 3: PONTA VERDE

Horário	Código	Trabalho
08:00	LE326R	Análise da adição de leite e maltodextrina na secagem de polpa de amora preta em leite de jorro M. B. Braga, S. C. S. Rocha
08:15	LE643R	Estudo da velocidade de mínima fluidização para misturas binárias biomassa-areia A.A.B.Pécora, L.E.Hernández-Mena, F. M. Nakashima, D.A.Ramírez-Quintero, E.R.Genari
08:30	LE464R	Monitoramento em tempo real do processo de granulação em leito fluidizado gás-sólido: evolução do tamanho da partícula, qualidade do regime e parâmetros psicrométricos C.A.M. Silva, O.P. Taranto
08:45	TC335R	Emissão de material particulado proveniente da queima de biomassa J. E. F. Cieslinski, M. A. M. Costa, S. S. Amaral, T. M. Vieira, J. J. P. Melo, F.A. Filho
09:00	TC419R	Aplicação da análise de caos na caracterização de regimes fluidizados para partículas dos grupos A e D na classificação de Geldart: estudo experimental W. H. Prieto, G. J. Castilho, M. A. Cremasco
09:15	TC343R	Esforços para minimizar perdas de circulação em meios porosos fraturados A.T.A. Waldmann, E. A. de Souza, S. Magalhães, L.A.Calçada

APRESENTAÇÃO DE PAINÉIS

SEGUNDA-FEIRA - 21/10/2013 - 16:30 às 18:15 horas

Propriedades de Transporte

Código	Trabalho
PT501R	Condutividade térmica experimental e análise de modelos estruturais para avaliação da condutividade térmica de polpa de manga em baixas temperaturas T.M.O.Giarola, C.G.Pereira, J.V. Resende
PT570R	Classificação e caracterização de saprólitos de filito da região de Marabá-PA A. M. P. F. Felipe, I. N. Reis, R. M. M. Mendes, R. L. Silva
PT579R	Dinâmica de congelamento e avaliação da densidade, calor específico, condutividade e difusividade térmica de polpa de acerola: efeitos da concentração e baixas temperaturas C.G.Pereira, J.V. Resende, T.M.O.Giarola
PT842R	Análise da cinética de absorção de água em grão de milho dentado (DKB 240PRO) B.C. Marques, L.M.M. Jorge, R.M.M. Jorge
PT843R	Otimização e modelagem da hidratação de grãos de cevada F. D. Montanuci, L. M. M. Jorge, R. M. M. Jorge
PT789R	Análise da prospecção tecnológica de fluidos de perfuração através de registro de patentes. I. M. Oliveira, A. D. S. Andrade, Y. M. Oliveira, G. L. S. Andrade, W.R. Cruz, G. F. Silva

Secagem

Código	Trabalho
SE203R	Estudo experimental da secagem periódica de soja em leito fixo R. O. Defendi, R. C. N. Filho, T. Z. Chedlovski, P. R. Paraíso, L.M.M.Jorge
SE210R	Análise das isotermas de equilíbrio de adsorção e dessorção da soja A. T. J. Finkler, F. Palú, E. A. Silva, M. F. P. Moreira
SE221R	Estudo da eficiência da adsorção de corante vermelho do congo por semente de mamão formosa (Caricapapaya L.) seca em leito fixo com fluxo de ar paralelo A.L. Arim, E.R. Echevarria, L.M. Rodrigues, A.R.F. Almeida
SE222R	Estudo das isotermas de dessorção e da morfologia de sementes de mamão formosa(Caricapapaya L.) A.L. Arim, E.R. Echevarria, L.M. Rodrigues, A.R.F. Almeida

- SE251R** **Modelagem da secagem transiente de pastas em leite de jorro a partir da resposta dinâmica da evaporação de água e da cinética de secagem das pastas**
G.N.A. Vieira; F.B. Freire, J.T. Freire
- SE275R** **Efeito da desidratação osmótica como tratamento preliminar na secagem e liofilização do abacaxi**
A.C.R. Xavier, A.S. Fontes, G.F. Silva, C.C.S. Bery, L.C.O. Barretto
- SE279R** **Modelo híbrido neural aplicado para a modelagem do processo de secagem de pastas em leite vibrofluidizado**
A.B.S.Costa, B.S.Nascimento, F.B.Freire, J.T.Freire
- SE298R** **Cinética da secagem a vácuo de yacon (*Smallanthussonchifolius*) precedida por desidratação osmótica com pulso de vácuo**
L.F.Oliveira, M.B.Vilela, M.C.A. Pereira, J.L.G. Corrêa
- SE301R** **Efeito da desidratação osmótica com pulso de vácuo no teor de frutanos do yacon (*Smallanthussonchifolius*)**
L.F.Oliveira, M.B.Vilela, A. L. S. Ramos, M.C.A. Pereira, J.L.G. Corrêa
- SE311R** **Tomates semi desidratados obtidos por secagem microondas convectiva**
J.L.G. Corrêa, R.C. Ribeiro, B.E. Fonseca, M. Paulo Filho, C.A.Borgo
- SE313R** **Combinação de diferentes tecnologias de secagem na produção de chips de manga de alta qualidade**
V.K.S. Calisto, M.S. Carvalho, G.F. Silva, C.C.S. Bery, J.A.B. Santos, L.C.O.Barretto
- SE320R** **Avaliação da secagem de feijão macassar (*Vignaunguiculata*) produzidos no município de Pombal na safra de 2012.**
F. M. S. Alves, A. M. A. C. Neta, E. A. Onias, G. M. V. Martins
- SE360R** **Efeito da temperatura e da potência de micro-ondas na cinética de secagem de goiaba (*Psidiumguajava,L*)**
F. J. Lopes, K. M. Soares, M B. Vilela, J. L. G. Correa
- SE371R** **Caracterização física e isotermas de dessecção dos frutos de aroeira-vermelha (*SchinusterebinthifoliusRaddi*)**
B. G. Silva, A. M. F. Fileti, A.C. L. Lisbôa
- SE374R** **Avaliação da influência da secagem no potencial antioxidante da pimenta vermelha dedo-de-moça (*Capsicumbaccatumvar.pendulum*)**
C.M.Caneda, G.S.Rosa
- SE386R** **Otimização da desidratação osmótica com pulso de vácuo (PVOD) de tomates em pedaços**
A.D.Viana, A.Justus, J.L.G.Corrêa
- SE407R** **Secagem de grãos de girassol em leite de jorro**
A.A.Evangelista Neto, C.E.Pazzini, W.M.Araújo, T.N.P.Dantas, M.F.D.Medeiros
- SE406R** **Estudo da secagem do resíduo industrial da acerola em leite de jorro**
F. E. Souza Júnior, T. M. C. Ribeiro, T. N. P. Dantas, R. T. P. Correia, M.F.D. Medeiros

- SE393R** **Secagem de sementes de mamão**
K.B. Pereira, A.M.M.C. Nobrega, R.D. Almeida, M.E.M. Duarte, J. E. A. Santos, K. Q. D. Brito
- SE408R** **Otimização da desidratação osmótica de yacon assistida por ultrassom: parâmetros cinéticos**
K. S. Mendonça, M. B. Vilela, F. J. Lopes, J. L. G. Corrêa
- SE421R** **Cinetica de secagem de mamão variedade formosa pré-desidratados osmoticamente**
A. M. M. C. Nobrega, M. E. M. Duarte, S. R. André, K. B. Pereira, R. D. Almeida, L. S. Nunes
- SE422R** **Secagem de manga tomyatkinspré-desidratada osmoticamente: cinetica e avaliação de modelos**
A.M.M.C. Nobrega, M. E. M. Duarte, R.D. Almeida, L. S. Nunes, K.B. Pereira, S.R.André
- SE424R** **Secagem de azevém (*Loliummultiflorum*) em leito fixo com escoamento de ar paralelo**
J.B.S.Hamm, A.F. Kanaan, C.G. Flores, A.R.F. Almeida
- SE428R** **Investigação de modelos empíricos de cinética de secagem de resíduos cartonados**
J. C. A. Pina, T.S Lira, M. S. Bachelos
- SE433R** **Ajustes de modelos matematicos e estudo da secagem de semente de moringa oleifera**
M.O.Silva, F.P.Camacho, J.P.Lazari, M.L.Menezes, R.Bergamasco, A.M.S.Vieira
- SE439R** **Secagem de resíduos de acerola no secador roto-aerado**
P.B.Silva, I.A.Resende, D.B.L.Santos, C.R. Duarte, M.A.S.Barrozo
- SE449R** **Secagem de polpa de melão pele de sapo: cinética e avaliação de modelos**
F. C. Sousa, L. M. M. Silva, D. S. Castro, J. S. Nunes, J. P. Gomes, A. P. T. Rocha
- SE450R** **Modelagem matemática para descrição da cinética de secagem de polpa de achachairu**
L. M. M. Silva, F. C. Sousa, J. S. Nunes, D. S. Castro, F. A. C. Almeida, J.V.Silva
- SE451R** **Cinética de secagem de folhas de juazeiro**
F. C. Sousa, L. M. M. Silva, D. S. Castro, J. S. Nunes, D. M. Lemos,E.P.Sousa
- SE453R** **Cinética de secagem de polpa de *annonasquamosa***
D.S.Castro, J.S.Nunes, L.M.M.Silva, F.C.Sousa, W. P. Silva, J.P.Gomes
- SE455R** **Estudo da secagem de polpa de jaboticaba**
J. S. Nunes, D.S.Castro, F. C. Sousa, L. M. M. Silva, W. P. Silva, J.P.Gomes
- SE468R** **Secagem de cubos de cenoura assistida por micro-ondas e análise da influência das condições operacionais no encolhimento**
K. Andreola, A. Marsaioli Jr, O. P. Taranto

- SE491R** Efeito do tamanho de partícula na remediação de sólidos de perfuração contaminados via aquecimento por microondas
J. M. Santos, M. S. Pereira, M. M. R. Pena, C. H. Ataíde
- SE510R** Análise da cinética de secagem em leito fixo de sementes de uva da variedade Bordô
M. L. Menezes, B. S. Fraga, M. S. Danilussi, M. C. B. A. Ugri, S. T. D. Barros, N. C. Pereira
- SE512R** Avaliação do recobrimento de sementes de gramínea com hidrocolóides
A.P.O.P. Pinto, M.M. Prado, D.J.M. Sartori
- SE513R** Recobrimento de sementes de frutos silvestres capsulares em panela rotatória
G.A. Rosso, D.J.M. Sartori
- SE515R** Coleta, extração e determinação das propriedades físicas de sementes de embaúba (*CecropiaglazioviSnethl.*)
M. P. Felizardo, D. J. M. Sartori
- SE516R** Umidade de equilíbrio de sementes nativas com função pioneira
R.M. Picelli, L.S. Arrieche, D.J.M. Sartori
- SE531R** Microencapsulação de catequinas de chá verde em carreadores lipossomais
V.A. Secolin, W.P. Oliveira, C.R.F. Souza
- SE533R** Obtenção de complexos de inclusão binários, ternários e quaternários contendo óleo essencial de *Lippiasidoideis*
P.N. Ferraz-Freitas; C.R.F. Souza, W.P. Oliveira
- SE534R** Encapsulação de compostos bioativos de cravo-da-índia por spray drying em presença de carreadores lipídicos
D.F. Cortés-Rojas, C.R.F. Souza, W.P. Oliveira
- SE550R** Análise da secagem de sementes de cacau para produção de chocolates especiais
R.F.Nascimento, D.J.M.Sartori, L.S.Arrieche
- SE553R** Difusão de umidade na secagem de partículas porosas em leito vibro-fluidizado
H. Perazzini, F. B. Freire, J. T. Freire
- SE554R** Influência das características de partículas na difusão de umidade durante a secagem de meios porosos
H. Perazzini, F. B. Freire, J. T. Freire
- SE555R** Aspectos teóricos e experimentais da secagem em camada delgada
H. Perazzini, F. B. Freire, J. T. Freire
- SE556R** Estudo da difusividade efetiva na secagem de meios porosos como parâmetro constante ou variável
H. Perazzini, F. B. Freire, J. T. Freire
- SE557R** Estudo do controle da eficiência energética em secadores convectivos
P.A.Jesus, F.M.R. Silva, D.J.M. Sartori, L.S. Arrieche
- SE558R** Umidade de equilíbrio de dessorção e adsorção de grãos de cevada
H. Perazzini, M. T. Bitti, G. D. Maia, F. B. Freire, J. T. Freire

- SE563R** **Análise da eficiência energética na secagem de sementes de cacau em estufa**
P.A. Jesus, R.R. Batista, D. Landi, D.J.M. Sartori, L.S. Arrieche
- SE565R** **Comparação das curvas de secagem de morangos (Albion e San Andreas) com e sem a desidratação osmótica**
V.G.S. Castro, A.K.S. Tavares, S.M.Vieira
- SE585R** **Influência das condições de secagem de folhas de guaco (*Mikania laevigata* Schultz Bip. Ex Baker) no teor de cumarina**
M.G.Silva, M.A.Silva, R. M. S. Celeghini
- SE606R** **Comparação da cinética de secagem das folhas de capim-limão (*Cymbopogon citratus*) em secador solar e secador convectivo com circulação forçada de ar.**
E.D.A.Santos, B.S.Santos, A.M. da Conceição, D.M.C. Santos, J.A.B. dos Santos, G.F. da Silva
- SE608R** **Estudo da secagem do resíduo do camarão**
E.D.A. Santos, A.M. da Conceição, W.R.S. Cruz, G.F. da Silva, M. de L. Lira
- SE612R** **Avaliação do comportamento de características físicas de sementes de feijão branco em função do teor de água**
A.P. S. Nascimento, L. S. Nunes, R. D. Almeida, A. T. O. Cirilo, M. E. M. Duarte, A.M.M.C. Nobrega
- SE983R** **Aplicación de logica difusa para un sistema de controlenun secador hibrido solar**
A.Reyes, F. Cubillos, J. Vasquez
- SE628R** **Modelagem matemática da secagem da erva-mate em secador de leito fixo**
D.P. Pereira, G.P. de Sá Junior, A.B.Polo, R. Morgenstern, E.A. da Silva, F.Palú
- SE645R** **Desenvolvimento de secador solar de baixo custo para a secegem de ervas na agricultura urbana**
Y. R. Mesojedovas, P. P. Loschi, A. Charbel
- SE675R** **Estudo de rendimento de óleos essenciais de *Corymbiacitriodora* em relação ao tempo de extração por arraste à vapor**
M. P. Felizardo, M. A. M. Costa, J. V. Freitas
- SE692R** **Cinética de secagem de folhas de amora (*Morus nigra* L.)**
F.F.Gurjão, G.G.Carneiro, T. Pessoa, D. R. S. Silva, P. R. Pê, J.P.Gomes
- SE694R** **Estudo da secagem natural e forçada das folhas de *Corymbiacitriodora* a partir da extração de óleos essenciais**
M. P. Felizardo, J. V. Freitas, M. A. M. Costa
- SE699R** **Ajuste da cinética de secagem de celulose/papel e de materiais têxteis utilizando a função erro**
O.C. Motta Lima, M.V. Jurach, H.S. Uchimura, L.H.C.D. Sousa
- SE731R** **Modelagem e simulação da etapa de secagem térmica condutiva do processo de fabricação industrial de papel**
O.C. Motta Lima, H.S. Uchimura, M.V. Jurach, C.M. Toffoli, L.H.C.D. Sousa

- SE738R** **Estudo da utilização de atomizador ultrassônico na secagem em spray**
P.H.C. Felix, A.L.T.Charbel, V. S. Birchall
- SE724R** **Secagem por microondas de cascalhos de perfuração provenientes de diferentes formações rochosas**
M. M. R. Pena, C. M. A. Panisset, M. S. Pereira, A. L. Martins, M.A.S.Barrozo, C. H. Ataíde
- SE725R** **Investigação de parâmetros termodinâmicos e de transporte na secagem convectiva do farelo de soja**
E. Sales Júnior, F. R. G. B. da Silva, G. R. Luz, L. M. M. Jorge, P.R.Paraíso
- SE728R** **Estudo da secagem osmo-convectiva do mesocarpo da melancia (Citrulluslanatus)**
I. A. B. da Silva, F. K. dos S. Rodrigues, Y. A. S.Beserra, F. O. da Costa, M. M. de Almeida
- SE702R** **Modelagem e simulação da etapa de secagem térmica condutiva de materiais têxteis**
O.C. Motta Lima, H.S. Uchimura, M.V. Jurach, C.M. Toffoli, L.H.C.D. Sousa
- SE741R** **Estudo da produção e acúmulo de pó durante a secagem de polpas de frutas em leito de jorro com alimentação intermitente**
T. N. P Dantas, J. S. Souza, F. E. Souza Júnior, J. A. Oliveira, S. C. S. Rocha, M. F. D. Medeiros
- SE780R** **Isotermas de equilíbrio de subprodutos da vitivinícola**
A.Krümmel, K.M.Deamici, L.C.Oliveira, E.G.Oliveira
- SE791R** **Cinética de secagem de chips de abacaxi submetidos a diferentes pré-tratamentos**
R.M.Passos, E.J.S.Araújo, A.R.C.Ribeiro, F.M.Souza, E.D.A.Santos, J.A.B.Santos
- SE800R** **Secagem da mistura de resíduos de acerola e soja em leito de jorro: avaliação fluidodinâmica**
R. N. Cunha, M.C.C. Francisquetti, C. R. Duarte, M. A. S. Barrozo
- SE826R** **Análise da programação linear na formulação de pasta de vegetais enriquecida de sangue bovino e secagem em leito de jorro**
A.P.Q. Larrosa, S.F. da Rocha, M.L. Monte, M. K. Rodrigues, L.A.A.Pinto
- SE825R** **Secagem de spirulinaplatensis em leito de jorro: análise dos compostos antioxidantes e parâmetros de cor**
A.P.Q. Larrosa, K. T. da Silva, T. S. da Silva, D. dos Santos, L.A.A.Pinto
- SE813R** **Análise da cinética de secagem de folhas de citronela**
R. C. Morgenstern, L. M. H. Zeni, M. A. S. S. Ravagnani, F. Palú
- SE840R** **Estudo da secagem do bagaço de cana-de-açúcar para aplicação como adsorvente**
F.B. Scheufele, A. Diório, A.N. Módenes, R. Bergamasco, N.C.Pereira
- SE852R** **Secagem microondas convectiva de fatias de abóbora**
J.L.G. Corrêa, D.B. Ernesto

- SE857R** **Influência da espessura no processo de secagem por liofilização de banana (*Musa sp.* AAA Cavendish)**
L. S. Olegário, D. M. C. Santos, J. M. S. Araujo, L. O. M. Miranda, J.A.B.Santos
- SE859R** **Estudo da alteração física no processo de desidratação por liofilização de banana (*Musa sp.* AAA Cavendish)**
L. S. Olegário, S. F. Andrade, T. O. M. Silva, J. A. B. Santos
- SE865R** **Secagem em leito fixo e combinada (leito fixo e fluidizado) de cascas de banana trituradas**
G.R.Carvalho, J.Telis-Romero
- SE867R** **Influência da concentração de maltodextrina sobre as propriedades físico-química da polpa de ciriguela (*Spondiaspurpurea*) em pó**
P.N. Matos, M.S. Jesus; A.S. Fontes, J.A.B. Santos; N. Narain
- SE876R** **Estudo sobre a cinética de secagem do carpelo da macadâmia em camada fina**
P.S.Almeida, T.P.Xavier, M.S.Bacelos, M.A.S.Barrozo, T.S.Lira
- SE875R** **Avaliação dos compostos bioativos após a secagem do resíduo de maracujá por infravermelho**
L. G. Mendes, F. Gardusi, G.Ullmann, D. I. S. Silva, M.A.S. Barrozo
- SE879R** **Cinética de encolhimento durante a secagem convectiva de abacaxi (*Ananás comosus*, l) com aplicação de micro-ondas**
F. J. Lopes, P. G. Corrêa, L. P. Mussi, N. R. Pereira
- SE870R** **Ajuste de modelos matemáticos na cinética de secagem de tiras de coco maduro**
T. Pessoa, D. R. S. Silva, D. S. A. Miranda, F. F. Gurjão, P. R. Pê, M. E. M. Duarte
- SE884R** **Estudo da cinética de liofilização e reidratação do açaí**
R. J. Brandão, M. M. Prado, L. G. Marques
- SE889R** **Isotermas de equilíbrio do carpelo da macadâmia: discriminação de equações utilizando medidas de não linearidade**
K.M.Barcelos, T.P.Xavier, M.S.Bacelos, M.A.S.Barrozo, T.S.Lira
- SE898R** **Secagem por spray dryer de enzimas celulolíticas**
V.M.Shiota, J.C. Thoméo
- SE913R** **Influência da temperatura na liberação controlada de óleo essencial de alecrim**
T. V. Mattar, J. M. Costa
- SE916R** **Cinética de liberação controlada de micropartículas de óleo essencial de alecrim em sistema modelo**
T. V. Mattar, J. M. Costa
- SE918R** **Avaliação de diferentes modelos de secagem para liofilização de mangabas maduras**
D. S. C. Soares, J. T. S. Santos, G. R. Oliveira, T. P. Nunes, A.M.O.Júnior
- SE919R** **Estimação do coeficiente de difusividade no processo de liofilização da mangaba**
D. S. C. Soares, J. T. S. Santos, G. R. Oliveira, T. P. Nunes, A. M. O. Júnior

- SE921R** **Determinação do coeficiente de difusividade no processo de secagem da moringa em diferentes temperaturas**
D. G. Costa, A. S. Moura, L. A. L. C. Lima, G. F. Silva, A. M. O. Júnior
- SE770** **Estudo da secagem em leito fixo e comparação dos compostos antioxidantes no resíduo de abacaxi (*Ananás comosus*), na casca e na polpa**
D. I. S. Silva, G. D. R. Nogueira, P. M. C. Cunha, A. G. Duzzioni, M. A. S. Barrozo

TERÇA-FEIRA - 22/10/2013 - 16:30às 18:15 horas

Processos de Separação

- | Código | Trabalho |
|---------------|--|
| PS125R | Biossorção de fenol utilizando nanopartículas de Spirulina sp. LEB 18: aplicação do modelo de Weber e Morris
G. L. Dotto, J. O. Gonçalves, T. R. S. Cadaval Jr., L. A. A. Pinto |
| PS294R | Avaliação da eletrofloculação no tratamento de água residuária da suinocultura submetida a pré-digestão anaeróbia
J. Steffens, R. Mores, R. M. Dallago, T. Benazzi, A. Kunz, A. Amaral |
| PS130R | Desenvolvimento de uma esponja megaporosa de quitosana para a adsorção de corantes: estudo das isotermas de equilíbrio
V. M. Esquerdo, J. O. Gonçalves, G. L. Dotto, L. A. A. Pinto |
| PS163R | Hidrociclones para a separação de dispersões óleo-água com altos teores de óleo: um estudo com CFD
C.A.O. de Araújo, R.S. Oliveira, C.M. Scheid, R.A. Medronho |
| PS175R | Análise matemática de modelos de entupimento de poros no tratamento de efluente têxtil em membranas de ultrafiltração
A.P.Stroher, M.L.Menezes, F.P. Camacho, L.O.R. Moreti, N.C.Pereira, R.Bergamasco |
| PS176R | Tratamento de efluente de lavanderia de jeans utilizando processos de separação por membranas
A.P.Stroher, M.L.Menezes, F.P. Camacho, N.C.Pereira, R.Bergamasco |
| PS177R | Tratamento de efluente têxtil por processo de ultrafiltração em membrana cerâmica utilizando como pré-tratamento o coagulante natural tanino
A.P.Stroher, M.L.Menezes, F.P. Camacho, N.C.Pereira, R.Bergamasco |
| PS289R | Separação de misturas de óleo de pinhão manso/solventes orgânicos utilizando membrana cerâmica
J. Steffens, N. Carniel, M. V. Tres, L. Urnau, R. Verlindo, M. Di Luccio |

- PS127R** **Cinética de admasorção de azo-corantes por filmes de quitosana**
T. V. Rêgo, A. C. Lopes, C. M. B. Caetano, G. L. Dotto, L.A.A.Pinto
- PS302R** **Caracterização estrutural e fluidodinâmica de membranas cerâmicas para separação de emulsões o/a por microfiltração tangencial**
R. Delcolle, C. A. Fortulan, S. R. Fontes
- PS318R** **Separação de Saccharomycescerevisiae do mosto fermentado em dois hidrociclones comerciais**
I.C. Bicalho, A.A. Pinto, J.L. Mognon, C.H. Ataíde, C.R. Duarte
- PS339R** **Permeação dos meios filtrantes submetidos à filtração e limpeza por pulso de ar reverso**
S.S.R.Cirqueira, M.L.Aguiar
- PS359R** **Remoção de óleo da água de produção em hidrociclones**
J. L. Mognon, C. H. Ataíde
- PS361R** **Adsorção de quitosanases produzidas por Paenibacillusehimensis em leite expandido**
C. E. A.Padilha, J. A.Oliveira, G. R.Macedo, E. S.Santos
- PS364R** **Recuperação do antígeno 503 recombinante utilizando a resina StreamlineChelanting**
C. Sousa-Junior, M.R.F. Vaz1,, S.C.B. Matias, M.A. Oliveira Filho, G.R. Macedo, E.S. Santos
- PS379R** **Análise da purificação de biodiesel etílico de óleo de soja por centrifugação**
J.F.Medeiros, O.C.M.Lima, N.C.Pereira, M.C.S.Gomes
- PS471R** **Estudo experimental do efeito de cilindros e cones porosos sobre o desempenho do hidrociclone hc11**
F. F. Salvador, M. A. S. Barrozo, L. G. M. Vieira
- PS413R** **Avaliação de bio/adsorventes alternativos na recuperação de prata iônica monovalente**
D. Kakiuthi, M.L. Cantuaria, A.F Almeida Neto, M.G.A Vieira
- PS430R** **Avaliação de diferentes métodos de preparação do coagulante natural moringa oleiferalam para utilização no tratamento de água superficial**
P. F. Coldebella, K. C. Valverde, F. P. Camacho, L. Nishi, M. C. Bongiovani, R. Bergamasco
- PS431R** **Otimização das condições de operação no processo de coagulação/floculação de água com a associação PAC e Moringa oleiferaLam**
K. C. Valverde, P. F. Coldebella, F. P. Camacho, L. Nishi, L. O. R. Moreti, R. Bergamasco
- PS438R** **Estudo da influência do diâmetro do orifício de underflow e do comprimento do vortexfinder em um hidrociclone filtrante de máxima eficiência de separação**
N.K.G. Silva, M.P.B. Martins, D.O. Silva, L.G.M. Vieira, M.A.S.Barrozo

- PS432R** **Avaliação do tempo de sedimentação utilizando um polímero aniônico como auxiliar de coagulação do coagulante Moringa oleifera Lam na obtenção de água potável**
M. C. Bongiovani, F. P. Camacho, P. F. Coldebella, K. C. Valverde, T. R. T. Santos, R. Bergamasco
- PS984R** **Tratamento de efluente de produção de biodiesel utilizando carvão ativado de osso bovino como agente adsorvente**
A. S. Peiter, S. H. V. Carvalho, J. I. Soletti, L. Meili
- PS460R** **Caracterização e levantamento da equação de projeto de um hidrociclone concentrador: H13**
M. P. B. Martins, N. K. G. Silva, M. A. S. Barrozo, L. G. M. Vieira
- PS390R** **Diferentes metodologias de extração de óleo de linhaça e avaliação de suas características físico-químicas**
B.B.V.Guandalini, M.L.Menezes, N.C.Pereira, M.C.B.Ambrosio-Ugri, A.M.S.Vieira
- PS472R** **Estudo comparativo de processos de dessalinização de águas salinas empregando energia solar**
J. P. S. Silva, G. R. David, L. G. M. Vieira
- PS480R** **Estudo da purificação de biodiesel etílico de óleo de canola bruto por ultrafiltração**
M.C.S.Gomes, W.M. Moreira, P.A. Arroyo, N.C. Pereira
- PS482R** **Um estudo experimental sobre a cristalização de lactose utilizando leite vibrado**
G. A. Teixeira, A. M. Brito, L. F. Lopes, J. R. D. Finzer, R.A.Malagoni
- PS483R** **Utilização de tanfloc na remoção de gorduras e proteínas do soro de leite usado na obtenção de lactose em um cristalizador batelada**
G. A. Teixeira, M. C. R. Falcomer; J. R. D. Finzer, R.A.Malagoni
- PS484R** **Avaliação da cinética de crescimento de cristais de lactose em um cristalizador tronco-cônico de leite vibrado**
G. A. Teixeira, M. C. R. Falcomer, L. F. Lopes, A. V. Fontes, J. R. D. Finzer, R. A. Malagoni
- PS489R** **Estudo do tratamento de água produzida utilizando bagaço de cana como meio adsorvente**
M. T. Costa, S. H. V. Carvalho, J. I. Soletti, L. Meili
- PS494R** **Estudo da clarificação de óleos de gordura residuais utilizando como adsorvente a moringa**
C.M.Leal, D.F.P.Suffredini, G.F.Silva
- PS497R** **Projeto de um sistema simples em batelada para adsorção de corantes reativos a partir de macrófitas**
B.T. Pelosi, L.K.S. Lima, M.G.A. Vieira
- PS504R** **Comparação entre os processos de sedimentação e flotação por ar dissolvido utilizando a semente de Moringa oleifera na remoção de células de Microcystissp.**
F. P. Camacho, L. O. R. Moreti, T. R. T. Santos, P. F. Coldebella, A. P. Ströher, R. Bergamasco

- PS508R** **Extração do óleo da amêndoa de macaúba (Acrocomiatotai)**
G.K. Souza, D.O. Francisco, M.C.S.Gomes, P.A. Arroyo, N.C.Pereira
- PS509R** **Avaliação de diferentes métodos de extração para a produção do óleo de semente de uva**
M. L. Menezes, B. S. Fraga, M. S. Danilussi, S. T. D. Barros, N.C.Pereira
- PS511R** **Quantificação de compostos antioxidantes do óleo de semente de uva das variedades cabernetsauvignon e bordô**
M. L. Menezes, R. Ströher, J. H. Dantas, S. T. D. Barros, N.C.Pereira
- PS543R** **Aplicação de secagem por microondas no tratamento de cascalhos de perfuração**
M. S. Pereira, M. M. R. Pena, A. L. Martins, C. H. M. de Sa, M. A. S. Barrozo, C. H. Ataíde
- PS583R** **Avaliação do ph na remoção de íons de efluente mineral visando à melhoria no reuso utilizando flotação por ar dissolvido**
M.A.Santos, R.C.Santana, A.S. Reis, F. Capponi, C.H.Ataíde, M.A.S. Barrozo
- PS612R** **Cinética de adsorção de azo-corantes por filmes de quitosana**
T.V. Rêgo, A.C. Lopes, C. M. B. Caetano, G.L. Dotto, L.A.A. Pinto
- PS630R** **Análise da supersaturação, intensidade de vibração e tempo de operação em um cristalizador de sacarose**
D. B. Quintino, R. Matsumura, I. A. Maionchi, N. D.de Carvalho, M. R. Franco Jr., R. A. Malagoni
- PS631R** **Cinética da adsorção de vanádio em solução aquosa utilizando filme de quitosana**
T. R. S. Cadaval Jr., F. Echart, G. Gnoatto, G. L. Dotto, L.A.A. Pinto
- PS649R** **Absorção de H₂S e CO₂ de biogás utilizando Fe/EDTA a partir de uma solução comercial**
D.C. Schiavon Maia, L.M. Frare, M.L.Gimenes, N.C. Pereira
- PS652R** **Carvão ativado de bagaço de cana-de-açúcar: influência das condições de produção**
F. Lini-Seixas, K. Yokoo, F. R. B. Turbiani, P. S. Garcia, N. R. C. Fernandes-Machado, M. L. Gimenes
- PS666R** **Concentração da proteína coagulante presente na semente de moringa oleifera para tratamento de água**
A.T.A.Baptista; P.H. F. Cardines; M.O. Silva, M.F. Vieira; R. Bergamasco; A.M. S.Vieira
- PS670R** **Determinação dos parâmetros da torta de filtração de fluidos de perfuração base água e base óleo**
N.D.Calabrez, M. F. M. Nogueira, L. A. Calçada, C. M. Scheid, A.T.A.Waldmann
- PS696R** **Produção e separação de biodiesel a partir de blendas de sebo bovino e óleo de fritura.**
S.M. Oliveira, J.C. Dalcolle, L.A. Ferreira, N.C. Pereira
- PS716R** **Adsorção do corante azul de metileno pelo resíduo da vitivinicultura in natura e pós-secagem**
A.B.Argenta, C.F.Gonçalves, G. S. Rosa, E.G.Oliveira

- PS799R** **Estudo experimental e de CFD da otimização de hidrociclones para minimização do consumo energético**
D.O. Silva, L.G.M. Vieira, M.A.S. Barrozo
- PS810R** **Avaliação da deposição de nanopartículas durante a filtração em filtros fibrosos**
P. M. Barros, S. S. R. Cirqueira, M. L. Aguiar
- PS836R** **Estudo do tratamento de água de produção utilizando poliuretano expandido como agente adsorvente**
D. C. Henrique, D. U. Quintela, J. I. Soletti, S. H. V. Carvalho, J. L. Marinho, L. Meili
- PS861R** **Análise da compressibilidade de meios porosos formados em fluidos newtonianos e não-newtonianos**
B. A. Moreira, F. O. Arouca, J. J. R. Damasceno
- PS878R** **Emprego de fluido supercrítico na obtenção de óleo de madeira de candeia**
K. A. Santos, F. Tavares, S. J. Kleinubing, M. L. Corazza, E.A.Silva
- PS885R** **Estudo do potencial do argilomineral de Icoaraci (PA) como material adsorvente**
E. S. Miranda, S. M. L. Carvalho, M. C. Martelli, D. S. B. Brasil, M. G. A. Vieira, M. G. C. da Silva
- PS891R** **Remoção de lactose de leite mediante adsorção em polímeros molecularmente impressos**
A.L. Balieiro, D. S. M. Silveira, L.S. Freitas, O.L. S. Alsina, A.S. Lima, C.M.F.Soares
- PS897R** **Análise do comportamento de materiais particulados sedimentando em fluidos newtonianos e não-newtonianos**
B.A. Moreira, F.O. Arouca, J.J.R. Damasceno
- PS910R** **Bioadsorção competitiva de íons metálicos pela macrófita *Limnobium spongia***
F. Gaia, C. Bertagnolli, S. J. Kleinübing, M. G. C. da Silva
- PS456R** **Uso de goma e pó de quiabo no processo de tratamento de água**
C. R.da S. Santos, E. de Jesus, J. A. Pacífico, A. S. Silva, R. L. Pagano, D.C. Silva

Modelagem e Simulação

- | Código | Trabalho |
|---------------|---|
| MS124R | Modelo difusivo aproximado para a adsorção de corantes por filmes de quitosana
G. L. Dotto, C. Buriol, L. A. A. Pinto |
| MS201R | Simulação numérica de um mini-hidrociclonebradley
R. P. Dos Anjos, R. S. Oliveira, R. A. Medronho |

- MS202R** **Validação de um modelo matemático para a estimativa do coeficiente global de transferência de massa na secagem de soja em camada delgada**
R. O. Defendi, A. Spanhol, G. S. Marques, G. R. Luz, P. R. Paraíso, L.M.M.Jorge
- MS205R** **Estudo Teórico da secagem de soja num secador de leito fixo em operação convencional e periódica**
R. O. Defendi, R. O. Silva, O. C. M. Lima, P. R. Paraíso, L. M. M. Jorge
- MS239R** **A influência da geometria de saída na erosão em risers de fcc: um estudo com CFD**
A.T.Faisca, R.A.Medronho
- MS296R** **Determinação via CFD de campos de velocidade e temperatura em uma câmara de armazenamento**
G.P.Damasceno, J.L.G.Corrêa, F.R.Nascimento
- MS487R** **Simulação da dispersão de material particulado emitido de uma indústria papelreira em uma cidade no estado do paraná utilizando o modelo AERMOD**
J.R. Melo, E.P. Lima, M. L. Gimenes
- MS521R** **Estudo da influência de esquemas numéricos na simulação de hidrociclones via CFD**
I.J. Petri, D.A. Santos, C.R. Duarte
- MS544R** **Comportamento dinâmico de partículas no interior de um tambor rotatório: um estudo experimental e de CFD**
D. A. Santos, I. J. Petri, F. O. Dadalto, R. Scatena, C. R. Duarte, M.A.S.Barrozo
- MS546R** **Consequências da regressão linear durante a estimação de parâmetros dos modelos de cinética de adsorção.**
M.G.Vechi, J.B.Severo Júnior, R. R. Souza
- MS477R** **Determinação numérico-experimental de temperaturas em superfícies planas regidas pela equação de laplace quando submetidas a diferentes condições de contorno**
L. M. Tizzo, V. A. Garcia, L. G. M. Vieira
- MS568R** **Caracterização de uvas frescas e passas**
K.B. Pereira, R.D. Almeida, A.M.M.C. Nobrega, M.E.M. Duarte, K. Q. D. Brito, J. E. A. Santos
- MS661R** **Modelagem e simulação emissão de no em combustor de leito fluidizado**
R.L.G.Silva, A.M.Santos, S.A.Silva, A.L.O.Ferreira, G.F.Silva
- MS603R** **Simulação numérica CFD do escoamento tridimensional em leito fixo com arranjo estruturado de partículas**
L. F. R. Chaves, R. Béttega
- MS604R** **Avaliação numérica de modelos de porosidade aplicados à simulação do escoamento e transferência de calor em leito fixo**
R. Béttega, R. G. Corrêa, M. A. S. Barrozo, J. T. Freire

- MS613R** **Utilização do planejamento fatorial para análise de erros em processos de adsorção**
F. P. Beatriz, M. L. P. M. Arguelho, J. B. Severo Júnior
- MS618R** **Avaliação de parâmetros do método de elementos discretos na fluidodinâmica de secadores rotatórios convencionais operando com fertilizantes**
B.C.Silverio, D.B.L.Santos, I.A.Resende, K. G. Santos, C.R. Duarte, M.A.S. Barrozo
- MS625R** **Estudo numérico da hidrodinâmica da dispersão de líquido no interior de um lavador Venturi**
V.K.Honda, R.Béttega, J. A. S. Gonçalves, V.G.Guerra
- MS680R** **Simulação dem do ângulo de repouso dinâmico de sementes de acerola: estudo paramétrico empregando a técnica de superfície de resposta**
K G. Santos, A.V.P. Campos, O.S. Oliveira, L.V. Ferreira, M.C. Francisquetti, M.A.S. Barrozo
- MS678R** **Efeito dos parâmetros do modelo de hertz-mindlin de forças de contato entre partículas sobre o ângulo de repouso estático da soja.**
K G. Santos, A.V.P. Campos, O.S. Oliveira, L.V. Ferreira, M.C. Francisquetti, M.A.S. Barrozo
- MS681R** **Simulação DEM da porosidade de misturas de soja e sementes de acerola..**
K G. Santos, A.V.P. Campos, O.S. Oliveira, L.V. Ferreira, M.C. Francisquetti, M.A.S. Barrozo
- MS781R** **Estudo da tranferência de massa na dissolução de particulas de sal no escoamento de salmoura.**
L. A. A. Martins, L. A. Calçada, C. M. Scheid
- MS706R** **Estudo da força de arraste e do diâmetro de bolha no escoamento multifásico em pratos perfurados de destilação por fluidodinâmica computacional**
G. C. Oliveira, G. H. Justi, G. C. Lopes, J. A. S. Gonçalves
- MS746R** **Estudo do processo de secagem de grãos de arroz vermelho da variedade caqui e Maranhão cultivadas na Paraíba**
Ribeiro Filho, N. M.; Menezes, P. H. S.; Borges, S. R. S.; Soares, C. D. F.; Oliveira, M. R. T
- MS752R** **Uma base de informações para grandezas constitutivas de suspensões particuladas**
A. S. Silva, E. de Jesus, R. L. Pagano, J. A. Pacífico
- MS753R** **Uma nova abordagem para estimação de parâmetros básicos de sedimentação**
A. S. Silva, E. de Jesus, R. L. Pagano, P. L. Santana, J. J. Marques
- MS761R** **Avaliação do comportamento de água produzida em tubo helicoidal e estudo do efeito da torção**
A. G. B. de Freitas, W. R. S. Cruz, G. F. da Silva, R. A. Medronho

- MS809R** **Aplicação do método elementos discretos na análise do ângulo de repouso dinâmico para a mistura de resíduo de acerola e soja**
R. N. Cunha, L. V. Ferreira, O.S.Oliveira, C. R. Duarte, M. A. S. Barrozo
- MS775R** **Avaliação da aplicação de modelos para a secagem de pastas e suspensões em leito de jorro com alimentação contínua**
F. C. Moraes Filho, T. N. P. Dantas, J. A. Oliveira, M. F. D. Medeiros
- MS831R** **Influência das forças de não-arraste e de modelos de turbulência no escoamento multifásico em pratos perfurados utilizando CFD**
G. H. Justi, G. C. Oliveira, G. C. Lopes, C. C. C. Silva, J. A. S. Gonçalves
- MS835R** **Análise e simulação de um secador rotativo direto de farelo de soja com fluxo contracorrente**
D. H. Pereira; G. R. Luz, W. A. S. Conceição, L. M. M. Jorge, P. R. Paraíso
- MS850R** **Uso de simulação CFD para examinar o efeito do movimento excêntrico variável do tubo interno no escoamento de líquidos não newtonianos em seções anulares**
J.L. Vieira Neto, M.A.S. Barrozo, C.H. Ataíde, A.L. Martins
- MS851R** **Simulação numérica pela técnica de CFD de escoamentos com instabilidades do tipo Taylor-couette em uma seção anular concêntrica**
J.L. Vieira Neto, M.A.S. Barrozo, C.H. Ataíde, A.L. Martins
- MS892R** **Determinação da energia de ativação da pirólise do carvão de macadâmia utilizando modelos isoconversionais**
T.S.Lira, T.P.Xavier, A.Basilio, F.D.Loss, M.A.S.Barrozo
- MS909R** **Estudo da influência da alimentação não convencional no desempenho de um filtro manga industrial**
S.M.S.Rocha, D.C.Ribeiro, F.A.R.Pereira, F.B.Marques, K.H. Simon

Fenômenos Interfaciais

- | Código | Trabalho |
|---------------|--|
| FI756R | Avaliação da molhabilidade do praziquantel e sua correlação com ensaios de dissolução
L.D. Prado, I.F.S. Bittencourt, M.A. Costa, H.V.A. Rocha |
| FI841R | Avaliação do potencial de adsorção da escama de tilápia utilizando corante reativo Azul 5g
C. Ribeiro, F.B. Scheufele, M. G. A. Vieira, C.E. Borba |

Caracterização e Dinâmica de Partículas, Bolhas e Gotas

Código	Trabalho
CD134R	Quantificação de material particulado (PM_{2,5}) emitido pela queima em laboratório de resíduos agroflorestais. C.Pinheiro, M. A. M. Costa, J. A. Carvalho Jr., M. C. S. Alves, J. C. Caraschi, S. S. Amaral
CD183R	Propriedades físicas para a caracterização de escoabilidade de biomassas vegetais K.Tannous, L.Baratella, B.Abramof, W. Bitencourt
CD346R	Análise da secagem convectiva de folhas de manjerição (ocimumBasilicum l.) R. A. B. Lima, K. C. Ribeiro, M. C. Ferreira, J. T. Freire
CD385R	Caracterização físico-química de sementes de linhaça B. B. V.Guandalini, M. L. Menezes, N. C. Pereira, M.C.B.Ambrosio-Ugri, A. M. S. Vieira
CD389R	Estudo do processo de reumidificação e das isotermas de desorção da semenetescornichão (Lotus corniculátus l.) A.F. Kanaan, C.G. Flores, J.C.P. Oliveira, A.R.F. Almeida
CD414R	Avaliação química preliminar de MP suspenso: o caso da faculdade de tecnologia da Unicamp em Limeira-SP A. F. E. de Souza, T. Alves, S. A. Pozza
CD470R	Adsorção de xileno em argila organofílicafluidgel S. Bedin, O. A. A. Santos, M. G. A. Vieira, M. G. C. Silva
CD473R	Avaliação de argila organofílica na adsorção de toluenos. Bedin, M. F. Oliveira, O. A. A. Santos, M. G. A. Vieira, M. G. C. Silva
CD492R	Estimativa de parâmetros cinéticos de decomposição térmica de sorgo sacarino W.S.Carvalho, J.A. Santana Júnior, T. J. P. Oliveira, C. H. Ataíde
CD502R	Desenvolvimento e caracterização físico-química e reológica de bebida láctea fermentada adicionada de farinha de chia (Salvia hispânica l.) L.F.S.Pereira, T.M.O.Giarola, S.M.Pinto, F. Antonialli
CD507R	Avaliação da afinidade da argila organofílicaspectrogel por compostos derivados de petróleo D.D.C.A.Speridião, A.F.Almeida Neto; O.A. Andreo dos Santos, M.G.A.Vieira
CD527R	Estudo da deposição de nanopartículas de óxido de ferro e níquel em filtro de fibra de celulose (HEPA) J. V. M. Zoccal, V. G. Guerra, J. A. S. Gonçalves

- CD545R** **Caracterização das propriedades físicas de diferentes materiais particulados: fatores de forma, distribuição de tamanhos, densidade e ângulo de repouso**
D. A. Santos, I. J. Petri, F. O. Dadalto, R. Scatena, C. R. Duarte, M. A. S. Barrozo
- CD547R** **Argila organofílica aplicada na remoção de óleos combustíveis**
E.S.Nascimento, A.F.Almeida Neto, M.G.C.Silva, O. A. Andreo dos Santos
- CD571R** **Avaliação comparativa das propriedades reológicas de néctar de manga (*Mangifera indica* L.) com diferentes teores de sólidos solúveis**
M.D.B.L.Oliveira, B.J.Gonçalves, C.G.Pereira, I.C.Amaral, T.M.O.Giarola, J.V.Resende
- CD580R** **Microscopia eletrônica de varredura como ferramenta de avaliação da estrutura de pós obtidos de polpa de maracujá (*Passiflora edulis* f. *flavicarpadeg.*) liofilizada adicionada de sacarose, frutose e álcool etílico**
C.G.Pereira, I.C.Amaral, B.J.Gonçalves, J.V.Resende, E.A.G.Leite, E.Alves
- CD581R** **Comportamento reológico de polpa de acerola: efeitos da concentração e temperatura**
C.G.Pereira, J.V.Resende, M.O.Giarola
- CD587R** **Efeito da maltodextrina, sacarose e frutose no processo de cristalização da polpa de maracujá (*Passiflora edulis*flavicarpa) liofilizada in natura**
B.J.Gonçalves, I.C.Amaral, C.G.Pereira, K.S.Mendonça, J.V.Resende, E. Alves
- CD588R** **Efeito do congelamento no comportamento reológico de maionese**
B.J.Gonçalves, I.C.Amaral, K.S.Mendonça, G.P.Damasceno, T.M.O.Giarola, J.V.Resende
- CD614R** **Métodos de caracterização do tamanho e distribuição de partículas de iogurte caprino probiótico em pó**
A. C. L. Medeiros, A. V. Calomeni, G. Feltre, G. C. Dacanal
- CD616R** **Caracterização do tamanho de partículas secas de fosfolipídios contendo β - caroteno**
T. Toniazzo, K. C. S. Bispo, T. R. Borrin, G. C. Dacanal
- CD648R** **Determinação das propriedades físicas de resíduos em pó de casca de amendoim em função do tamanho da partícula**
T.C. Polachini, J. Telis-Romero
- CD663R** **Extração de sericina de casulos do bicho da seda (*Bombyxmori*) e formação de partículas a base de sericina e alginato**
T.L.Silva, M.L.Gimenes, M.G.A.Vieira, M.G.C.Silva
- CD866R** **Influência do conteúdo de umidade em propriedades físicas de sementes de melancia**
G.R.Carvalho, P.Moser, J.Telis-Romero
- CD881R** **Análise das frações de vazios de um escoamento bifásico (ar-agua) vertical com sondas capacitivas**
S.A.Silva, A.L.O.Ferreira, G.F.Silva

Leitos Fixos, Deslizantes, Jorros, Fluidizados e Vibrados

Código	Trabalho
LE682R	Testes de secagem em leito fluidizado da casca de romã e efeito na extração de taninos totais.
LE303R	R. A. L. Dias, O. L. S. Alsina, L. S. Conrado
LE578R	Estudo da estabilidade das antocianinas incorporadas à farinha de mandioca (<i>Manihotesculentacrantz</i>) R.L.G Da Cunha, S.C.S. Rocha
	Extração de compostos antioxidantes da folha de mangueira (<i>Mangifera indica</i> L.) utilizando CO₂ supercrítico W. J. dos Santos, E. A. Silva, O. P. Taranto
LE679R	Fluidodinâmica de composto de polietileno e alumínio em leito de jorro cônico J.L.Z.Melo, I.I.D.R.Marques, M. S. Bacelos
LE331R	Estudo preliminar do escoamento líquido em meio poroso aplicado no controle da lixiviação em colunas do minério de cobre oxidado da Mina do Sossego - Canaã dos Carajás/PA M. C. Carvalho, K. S. Santos, B. S. Mosso, R. A. Quezado, D. S. Costa, R.S.Paiva
LE467R	Estudo da secagem de açaí (<i>Euterpe oleracea</i> Mart) em leito de jorro R. G. Costa, K. Andreola, C. A. M da Silva, L. J. G. Faria, O. P. Taranto
LE399R	Análise da fluidodinâmica de partículas cartonadas em leito de jorro I. I. D. R. Marques, M. S. Bacelos
LE481R	Influência das variáveis operacionais de secagem no rendimento da extração da pectina da laranja-pera K. Zanella, W. J. dos Santos, O. P. Taranto
LE490R	Estudo do comportamento dinâmico de um leito de jorro convencional via técnica de CFD: avaliação da influência do refinamento de malha na qualidade dos resultados A.O. Silva, R.O. Lourenço, E. Brandão, C.M.L. Costa, E.N.Macedo, A.L.A. Mesquita
LE493R	Estudo de parâmetros fluidodinâmicos da farinha de babaçu em leito fluidizado T. P.A.Portella, A.F.Lacerda, R. O. Lourenço
LE498R	Estudo experimental da defluidização na secagem de pasta em leito fluidizado utilizando análise espectral gaussiana F.S. Raymann, C. Mores, F.C. Janzen, O.P. Taranto, M.R. Parise
LE499R	Estudo fluidodinâmico da bioadsorção de Pb²⁺ em leito poroso por macrófita aquática L.K.S.Lima, J.F.L.Silva, M.G.C.Silva, M.G.A.Vieira

- LE541R** **Adsorção de azo-corantes em coluna de leito fixo utilizando esferas de vidro recobertas com quitosana**
M. L. G. Vieira, M. S. Martinez, G. B. Santos, L. A. A. Pinto
- LE542R** **Estudo da fluidodinâmica de sementes de painço (Setariaitalica) em leito de jorro cônico.**
L. D. Nascimento, J. J. Butzge, O. P.Taranto, S. C. S. Rocha, C. M. L. Costa, L.J. G. Faria
- LE567R** **Influência do ângulo da base cônica na taxa de circulação das partículas inertes durante a secagem de pastas em leito de jorro**
M. T. Bitti, F. B. Freire, J. T. Freire
- LE610R** **Efeitos do gradiente de temperatura em partículas paralelepípedicas sob aquecimento em leitos fixos.**
C.C. Moratori, A. C. L. Lisbôa
- LE627R** **Caracterização de colunas quirais recheadas com fases estacionárias baseadas em derivados de polissacarídeos**
A. C. Nascimento, R. F. Perna, A.M. Ramos, C. C. Santana, M. A. Cremasco
- LE644R** **Identificação de comportamento periódico por meio de análises de séries Temporais Em Um Leito Fluidizado Circulante**
G.J. de Castilho, M.A. Cremasco
- LE647R** **Estimativa dos parâmetros fluidodinâmicos em diferentes temperaturas e cargas de sementes de linhaça**
E.B.Santana, M.C.C.Valente, L. J. G. Faria, C.M.L.Costa
- LE805R** **Leito fluidizado como equipamento de imobilização e secagem de enzimas**
T.A. Costa-Silva, P.S. Marques, C.R.F. Souza, S. Said, W.P. Oliveira
- LE717R** **Avaliação da influência do ruído nos métodos de obtenção de invariantes caóticos em leito fluidizado**
H. L. Moura, W. H. Prieto, G. J. Castilho, M. A. Cremasco
- LE718R** **Identificação e redução de ruído em séries temporais caóticas obtidas em uma seção de riser de um leito fluidizado circulante**
H. L. Moura, G. J. Castilho, M. A. Cremasco
- LE727R** **Estudo do impacto da concentração e vazão de ligante na distribuição de tamanho da pectina aglomerada**
T. A. M. Hirata, F. C. Menegalli
- LE766R** **Avaliação do desempenho de um reator de leito fixo em regime permanente via técnica analítica**
J.L.Martins, L.G.Oliveira
- LE838R** **Análise da fluidodinâmica de sementes de mamão em um secador de leito de jorro**
D. P. Chielle; D. L. O. Junior; B. Mocelin; T. Venturini; E. H. Tanabe, L.Meili
- LE839R** **Análise do rendimento de óleo extraído da semente de mamão seca em leito de jorro**
D. P. Chielle; L. R. Benchimol; R. Vendruscolo; R. Wagner; E. H. Tanabe, L.Meili

- LE847R** Utilização do método de evolução diferencial para estimativa de parâmetros em correlações de mínimo jorro
D. L. Souza, J. L. Vieira Neto, M. A. S. Barrozo
- LE899R** Análise fluidodinâmica de sementes de gergelim (*Sesamum indicum* L.) em leito fluidizado
C.D.N.O.daSilva ,E.B.Santana e C.M.L.Costa
- LE887R** Retenção de água por partículas de bagaço de cana e farelo de trigo em um leito de tambor rotativo
L.M. Grajales, Y.P. Lemos, E.O. Ignácio, J.C. Thoméo
- LE888R** Avaliação térmica da mistura de partículas de bagaço de cana e farelo de trigo em um biorreator de tambor rotativo para fermentação em estado sólido
L.M. Grajales, E.O. Ignácio, J.C. Thoméo

Temas Correlatos

- | Código | Trabalho |
|---------------|--|
| TC48R | Queima de biomassa florestal e a emissão de material particulado fino (PM_{2,5})
S.S.Amaral, J.A. Carvalho Jr., M. A. M. Costa, J. E. Fernandes, T.M. Vieira, C. Pinheiro |
| TC178R | Uso de adsorventes na purificação do biodiesel
J.M.V.Gois, J.V.Gois, M.C.Sant'anna, G.F.Silva |
| TC233R | Avaliação de MP_{2,5} e MP₁₀ em salas de aula na cidade de São Carlos - SP
T.T.Comin, E.Schornobay, P.F.Rosa, M.L.Aguiar |
| TC340R | Determinação da força de adesão através da técnica centrífuga entre partículas e membranas filtrantes
A.F. Almeida, M.L. Aguiar |
| TC348R | Tratamento de efluentes de indústria de galvanoplastia contaminados com metais pesados (Ni²⁺, Cr³⁺ e Cr⁶⁺) através de planejamento estatístico
C.C.Coppi, K.Tannous |
| TC354R | Determinação dos regimes de escoamento em coluna bolha a partir de medidas de capacitância do sistema: análise da influência da localização do capacitor e da distância entre suas placas
C. L. Martins, P. C. Stulp, M. F. P. Moreira |
| TC370R | Caracterização parcial da inulinase obtida de <i>Aspergillus niger</i> imobilizada em alginato de sódio e carvão ativado
M.F.Silva, J. Steffens, J.V. Oliveira, M.V. Tres, D. Oliveira, H. Treichel |

- TC575R** **Previsão da retenção gasosa global em biorreatores pneumáticos de circulação interna por fluidodinâmica computacional**
G. Y. Rodriguez, R. Béttega, A. C. Badino
- TC420R** **Atributos de textura da passa de mamão formosa em função da secagem em diversas temperaturas**
A. M. M. C. Nobrega, S. R. André, R. D. Almeida, K. B. Pereira, M. E. M. Duarte, K. Q. D. Brito
- TC426R** **Remoção de cromo hexavalente por biossorção usando pó de quiabo**
V.H.S.Ramos, J.C Conceição, E. de Jesus, J.J. Marques, A.S. Silva, D.C.Silva
- TC454R** **Análise comparativa de diferentes técnicas para aumentar a conservação de tomates**
A.H.Rosanova, M.C.Ferreira
- TC514R** **Biossorção de Cr(VI) de soluções aquosas com pó de quiabo quimicamente modificado**
J. C. Conceição, V. H. S. Ramos, E. de Jesus, A. S. Silva, J. J. Marques, D.C.Silva
- TC519R** **Avaliação do diâmetro de partícula da casca do cacau na geração de biogás**
R.R. Batista, A. Zanetti, D.J.M. Sartori, L.S. Arrieche
- TC530R** **Avaliação das propriedades mecânicas e de permeabilidade de filmes produzidos com quitosanas de diferentes massas molares**
J. M. Moura, B. S. Farias, D. A. S. Rodrigues, J. S. Dias, C. M. Moura, L.A.A.Pinto
- TC536R** **Adição de α - e β -ciclodextrinas para redução do amargor do hidrolisado enzimático de farelo de soja**
R. Stroher, N. C. Pereira, G. M. Zanin
- TC537R** **Avaliação das proteínas do hidrolisado enzimático de farelo de soja submetido à adsorção com carvão ativado**
R. Stroher, N. C. Pereira, G. M. Zanin
- TC414R** **Efeito do conteúdo de compostos inorgânicos na micro pirólise de resíduo de tabaco**
C.R. Cardoso, C.H. Ataíde
- TC617R** **Self-calibration effect for Tomographic PIV in velocity field of particulate phase in riser section of a circulating fluidized bed**
R. L. Amaral, E. Pazin, M. A. Cremasco
- TC745R** **Otimização do processo de produção de rapadura por planejamento experimental**
N. M.RibeiroFilho;G. L. Virgínio; S.R.S. Borges; P.H.S. Menezes; M.R.T. Oliveira
- TC632R** **Análise granulométrica de açúcar para produção de chocolates especiais**
R.F.Nascimento, A.S.Reckel, G.T.Cuzzuol, L.V.Marim, D.J.M.Sartori, L.S.Arrieche
- TC629R** **Influência da granulometria na reologia da fração arenosa (quartzo) em operações de lavagem da lama vermelha**
D.N.P.Cardoso, M.S.S. Leandro, J.A.S. Souza, C. A. G. Souza, A.M.P.F. Felipe

- TC651R** **Produção de micropartículas lipídicas contendo ácido ascórbico por spray chilling**
T. Sartori, M. D. Hubinger, F. C. Menegalli
- TC655R** **Avaliação da influencia do pH na ação de aditivos reológicos no rejeito da bauxita de Paragominas-PA**
S.G.Gonçalves, S. M. Brum, D.N.P. Cardoso, A.M.P.F. Felipe, J.A.Silva Souza
- TC668R** **Epoxidação do ácido oleico utilizando lipase calb encapsulada em microemulsão baseada em organogel**
A.F.Zanette, I.C.R.Leal, R.O.M.A de Souza, A.Xenakis, L.Cardozo Filho.
- TC689R** **Qualidade do ar na biblioteca do campus experimental da Unesp/Itapeva**
M. P. Felizardo, M. A. M. Costa
- TC690R** **Comportamento reológico de iogurte de caixa**
F.F.Gurjão, G.G.Carneiro, T. Pessoa, D. R. S. Silva, P. R. Pê, J.P. Gomes
- TC711R** **Isotermas de adsorção da farinha da casca da goiaba**
A.M.Santiago, L.S.C.Oliveira, M.M.Almeida
- TC743R** **Otimização do processo de produção de melado por planejamento experimental**
N. M. Ribeiro Filho; C. S. Vêras; S. R. S. Borges; G. L. Virgínio; M.R.T. Oliveira
- TC646R** **Influência da concentração do meio disperso sobre a de pó de casca de amendoim em soluções ácidas**
T.C. Polachini, J. Telis-Romero
- TC757R** **Desenvolvimento e avaliação de sistemas incrementadores de dissolução de efavirenz**
M.A.Costa, R.C.Seiceira, C.R. Rodrigues, C.R.D. Hoffmeister, L.M. Cabral, H.V.A. Rocha
- TC792R** **Estudo da influência da moringa como meio filtrante na estabilidade oxidativa do biodiesel**
D.S.Oliveira, J. M. V. Gois, M. C. S. Sant'anna, G. F. Silva
- TC784R** **Determinação de condutividade térmica da polpa de cajá**
E. J. S. Araujo, F. M. Souza, R.M.Passos, A.R.C.Ribeiro, G. K. C. Silva, J.A.B.Santos
- TC758R** **Estudos da cristalização do carvedilol**
L.D. Prado, A.M.R.F. Teixeira, J.A.L.C. Resende, H.V.A. Rocha
- TC808R** **Avaliação do potencial da argila organoflicaspectrogel na remoção de compostos BTX em fase líquida**
S.K.F.Stofela, M.G.A.Vieira, O.A.A. dos Santos
- TC819R** **Enriquecimento proteico do residuo do abacaxi (casca e coroa) com o residuo do pendiculo do caju com a levedura saccharomycescerevisiae**
E. A. Onias, F.S. Araujo, A.M.A.C. Neta, F.M.S. Alves, E.A. Onias, O.S.Lima
- TC462R** **Projeto e viabilidade da utilização de energia solar em sistemas de refrigeração por absorção**
A. H. Nicoletti, J. J. R. Damasceno, L. G. M. Vieira

- TC868R Estudos preliminares do comportamento reológico de argamassa de assentamento e revestimento com adição de rejeito de construção civil e cinzas volantes**
D.N.P.Cardoso, K.F.Castro, J.A.S. Souza, C.A.G. Souza, A.M.P.F. Felipe
- TC883R Estudo do efeito “flash” na precipitação carbonática em poços petrolíferos**
F. A. R. Pereira, D. C. Ribeiro, A. L. Martins, W. Q. Barros, R. P. Cosmo, M.C. Viana
- TC912R Avaliação de misturas lipídicas de óleo de soja totalmente hidrogenado e óleo de soja como materiais de parede para a microencapsulação de ácido gálico por spray chilling**
L. Consoli; R. Grimaldi; M.D. Hubinger
- TC917R Desenvolvimento e caracterização de carvão ativado modificado com íons metálicos para tratamento de água**
F. S. Arakawa, Q. L. Shimabuku, P. F. Coldebella, T. R. T. Santos, C. A. Silva, R. Bergamasco
- TC920R Filtros com carvão ativado granular impregnado com íons prata e cobre para tratamento de água**
F. S. Arakawa, Q. L. Shimabuku, N. Gomes, S. A. L. Abe, M. C. B. A. Ugri, R. Bergamasco
- TC444R Avaliação do processo de coagulação/floculação seguido por adsorção na remoção de matéria orgânica natural (MON) com a finalidade de minimizar a formação dos trihalometanos**
T. R. T. Santos, M. C. Bongiovani, F. P. Camacho, F. S. Arakawa, R. Bergamasco, M. F. Vieira
- TC824R Avaliação da técnica de ultrassom para determinação da velocidade de sedimentação de partículas**
L.A.Saidler, B.V.Loureiro
- TC605R Avaliação do comportamento térmico da pirólise lenta do ouriço de sapucaia (*Lecythispisonis*) através da análise termogravimétrica**
Y.J.R.Ordenez, K.Tannous